

## ЭНЕРГИИ РАСТВОРЕНИЯ ПРИМЕСЕЙ И ИХ КЛАСТЕРОВ В ПОВЕЛЛИТЕ $\text{CaMoO}_4$

© 2023 г. В. Б. Дудникова<sup>1,\*</sup>, Н. Н. Еремин<sup>1</sup>

<sup>1</sup>Московский государственный университет им. М.В. Ломоносова, Москва, Россия

\*E-mail: VDudnikova@hotmail.com

Поступила в редакцию 16.09.2022 г.

После доработки 27.09.2022 г.

Принята к публикации 03.10.2022 г.

Методом межатомных потенциалов проведено моделирование примесных дефектов в повеллите  $\text{CaMoO}_4$ . Рассчитаны энергии растворения одно-, двух- и трехвалентных примесей, представлен их сравнительный анализ и основные закономерности изменения. Определены позиции наиболее вероятной локализации дефектов. Для гетеровалентных примесей найден наиболее энергетически выгодный механизм компенсации их заряда как за счет собственных дефектов кристалла, так и по схеме сопряженного изоморфизма. Показано, что образование кластеров примеси с собственными дефектами кристалла и в большей степени образование кластеров примесей с разными зарядами позволяет существенно снизить их энергию растворения. Образование нейтральных кластеров одновалентных примесей с вакансиями кислорода не только увеличивает растворимость примесей, но и снижает вероятность образования центров окраски.

DOI: 10.31857/S002347612301006X, EDN: DNRRBM

### ВВЕДЕНИЕ

Молибдат кальция,  $\text{CaMoO}_4$  (повеллит), имеет структуру шеелита (тетрагональная сингония, пр. гр.  $I\bar{4}_1/a$ ). Атомы кальция окружены восемью атомами кислорода с двумя наборами межатомных расстояний (КЧ = 4 + 4). Атомы молибдена находятся в окружении атомов кислорода, объединенных в тетраэдры. Каждый катион кальция окружен четырьмя такими же катионами и восемью катионами молибдена (рис. 1).

Повеллит и твердые растворы на его основе представляют интерес как в фундаментальном, так и в технологическом отношении в связи с возможностью их использования в качестве люминофоров [1, 2], лазерных материалов [3, 4], криогенных детекторов [5, 6] и целого ряда других практических применений. Возможность образования твердых растворов повеллита с радиоактивными элементами играет важную роль при захоронении ядерных отходов [7, 8].

Легирование редкоземельными и переходными элементами позволяет придать матричным кристаллам люминесцентные, лазерные и другие весьма важные свойства. Гетеровалентные примесные дефекты могут также оказывать влияние на собственные дефекты кристалла и определяемые ими свойства. Как правило, уровень легирования невысок и экспериментальное исследование механизмов растворения затруднительно.

В этом отношении весьма актуально использование атомистического моделирования. Оно позволяет провести сравнение растворимости разных элементов, установить наиболее вероятную их локализацию и компенсацию заряда и облегчает решение задачи получения кристаллов с заданными свойствами.

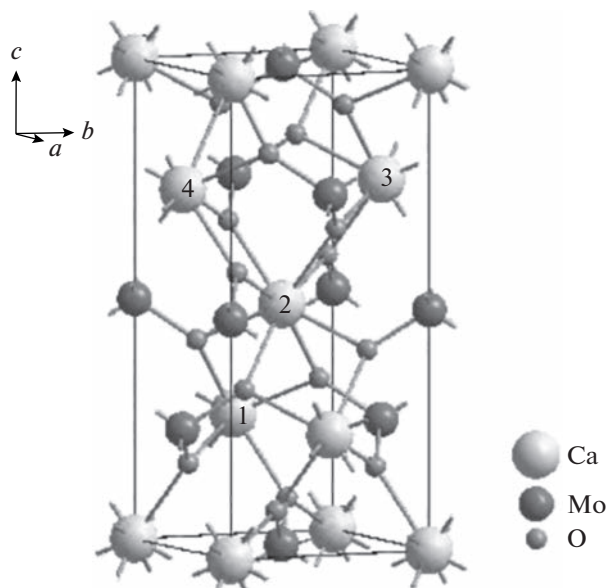


Рис. 1. Структура повеллита.

Моделирование примесных дефектов было проведено в изоструктурном молибдату кальция соединении  $\text{PbWO}_4$  в [9, 10]. Настоящая работа является продолжением начатого ранее исследования по моделированию собственных дефектов в  $\text{CaMoO}_4$  [11] и посвящена моделированию примесных дефектов в этих кристаллах.

## МЕТОДИКА МОДЕЛИРОВАНИЯ

Моделирование проведено методом межатомных потенциалов с помощью программы GULP 4.0.1 (General Utility Lattice Program) [12], в основе которой лежит процедура минимизации энергии кристаллической структуры.

Атомистический подход основан на использовании эмпирически определенных межатомных потенциалов, описывающих взаимодействие между атомами или ионами в кристалле. Парный потенциал  $U_{ij}$  взаимодействия ионов  $i$  и  $j$  с зарядами  $q_i$  и  $q_j$  является алгебраической суммой нескольких составляющих:

$$U_{ij}(R_{ij}) = q_i q_j e^2 / R_{ij} + A_{ij} \exp(-R_{ij}/\rho_{ij}) - C_{ij} / R_{ij}^6. \quad (1)$$

Первый член учитывает кулоновское взаимодействие, второй – отталкивание, возникающее при перекрывании электронных оболочек соседних атомов, а последний учитывает ван-дер-ваальсово взаимодействие,  $R_{ij}$  – межатомное расстояние,  $A_{ij}$ ,  $\rho_{ij}$ ,  $C_{ij}$  – эмпирические параметры короткодействующих потенциалов, область действия которых в настоящей работе составляла 15 Å для связи кислород–кислород и 10 Å в остальных случаях. Для учета ковалентности связи была введена поляризуемость катионов. Поляризуемость ионов учитывали с помощью “оболочечной модели”, в которой остов ( $C$ ) с зарядом  $q_c$  и оболочка ( $S$ ) с зарядом  $q_s$  связаны гармонической упругой константой  $\chi_i$ :

$$U_i^s = (1/2)\chi_i l_i^2, \quad (2)$$

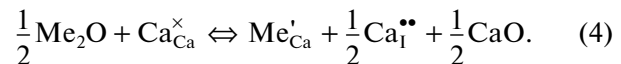
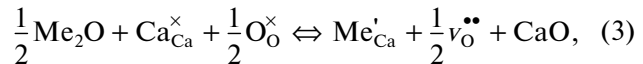
где  $l_i$  – расстояние между центрами остова и смещенной оболочки.

Расчет энергии дефектов проводили по методу Мотта–Литтлтона [13], в основе которого лежит модель “вложенных сфер”. Центральная область в расчетах имела радиус 10 Å, следующая за ней сфера имела радиус 22 Å, что позволило обеспечить хорошую сходимость результатов.

## РЕЗУЛЬТАТЫ И ИХ ОБСУЖДЕНИЕ

Процесс растворения примесей может быть записан в виде квазихимических реакций обмена между основным компонентом и примесным компонентом в виде оксида. При гетеровалентном замещении кальция одновалентным ионом  $\text{Me}^+$  образуется примесный дефект с избыточным

отрицательным зарядом, который необходимо скомпенсировать. Возможны различные механизмы компенсации заряда такого дефекта. Избыточный отрицательный заряд, вносимый одновалентной примесью, может быть скомпенсирован за счет собственных дефектов повеллита (вакансий в позициях кислорода  $v_O^{--}$  или интерстициальных внедрений кальция  $\text{Ca}_I^{+}$ ) следующим образом:



Для дефектов используются обозначения Крегера и Винка: нижний индекс обозначает позицию в кристалле, верхний – заряд, избыточный положительный ( $\bullet$ ), избыточный отрицательный ( $\prime$ ) по отношению к заряду ненарушенной матрицы ( $\times$ ),  $v$  – вакансия,  $I$  – интерстиция.

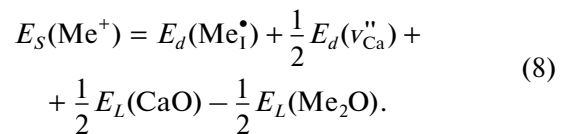
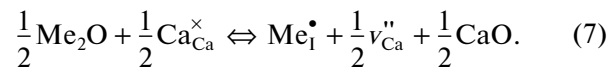
Энергии растворения одновалентных примесей  $E_S(\text{Me}^+)$  для реакций (3), (4) могут быть оценены соответственно из следующих уравнений:

$$E_S(\text{Me}^+) = E_d(\text{Me}_{\text{Ca}}^{\prime}) + \frac{1}{2}E_d(v_\text{O}^{--}) + E_L(\text{CaO}) - \frac{1}{2}E_L(\text{Me}_2\text{O}), \quad (5)$$

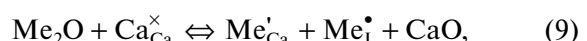
$$E_S(\text{Me}^+) = E_d(\text{Me}_{\text{Ca}}^{\prime}) + \frac{1}{2}E_d(\text{Ca}_\text{I}^{+}) + \frac{1}{2}E_L(\text{CaO}) - \frac{1}{2}E_L(\text{Me}_2\text{O}), \quad (6)$$

где  $E_d$  – энергии примесных и собственных дефектов в повеллите,  $E_L$  – структурные энергии чистых оксидов.

Возможно также интерстициальное вхождение одновалентных ионов, вносящих избыточный положительный заряд, при компенсации заряда вакансии кальция  $v_{\text{Ca}}^{--}$ :



Одновалентные примеси могут также растворяться по механизму самокомпенсации заряда, внося в кристалл избыточный отрицательный заряд, замещая кальций, и одновременно входить интерстициально, внося избыточный положительный заряд:



**Таблица 1.** Используемые в работе значения параметров межатомных потенциалов и зарядов атомов в кристалле повеллита, энергии собственных дефектов

Взаимодействие	Параметры потенциалов			Атом	Заряд, $e$	Дефект	$E_d$ , эВ
	$A$ , эВ	$\rho$ , Å	$C$ , эВ Å $^6$				
Ca–O <sub>S</sub>	2157.414944	0.311170	0.000000	Ca	2.000000	$v_{\text{Ca}}^{\prime \prime}$	23.96
Mo <sub>S</sub> –O <sub>S</sub>	1073.797588	0.368729	0.000000	Mo <sub>C</sub>	0.268423	Ca <sub>I</sub> $^{\bullet \bullet}$	-12.62
O <sub>S</sub> –O <sub>S</sub>	1868.561623	0.120368	10.909249	Mo <sub>S</sub>	5.731577		
—		$\chi$ (эВ/Å $^{-2}$ )		O <sub>C</sub>	0.306187	$v_{\text{O}}^{\bullet \bullet}$	22.15
Mo <sub>S</sub> –Mo <sub>C</sub>		74.480726		O <sub>S</sub>	-2.306187		
Os–O <sub>C</sub>		13.804354					

$$E_S(\text{Me}^+) = E_d(\text{Me}_{\text{Ca}}^{\bullet}) + E_d(\text{Me}_I^{\bullet}) + E_L(\text{CaO}) - E_L(\text{Me}_2\text{O}). \quad (10)$$

Для моделирования кристаллической структуры повеллита использовали структурные данные из [14] и параметры межатомных взаимодействий, определенные в [11]. Они представлены в табл. 1 вместе со значениями энергии собственных дефектов, необходимых для компенсации избыточных зарядов, вносимых примесью. Структурная энергия CaO получена при использовании параметров межатомного взаимодействия из табл. 1 и составляла  $E_L(\text{CaO}) = -36.19$  эВ.

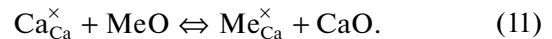
В табл. 2 приведены результаты расчета энергии примесных дефектов  $E_d$  и энергии растворения примесей  $E_S$  при разных механизмах растворения и компенсации электронейтральности. Значения  $E_S$  наиболее энергетически выгодных механизмов растворения выделены жирным шрифтом. Для примесей использовали параметры взаимодействия из [15]. Также приведены значения структурной энергии оксидов  $E_L(\text{Me}_i\text{O}_y)$ , полученные с использованием этих параметров. Значения ионных радиусов  $r$  приведены согласно [16].

При изоморфном замещении кальция одновалентными примесями и компенсации электронейтральности собственными дефектами кристалла более выгодна компенсация заряда вакансиями кислорода (3), (5) по сравнению с компенсацией интерстициальными ионами кальция (4), (6). Для крупного иона калия это наиболее выгодный механизм растворения. Однако для лития он требует значительных энергетических затрат.

Для одновалентных примесей, как и для ионов кальция [11], наиболее энергетически выгодными являются интерстициальные позиции с координатами 0.5, 0.5, 0.375. Энергии интерстициальных одновалентных ионов в табл. 2 приведены в скобках. Для лития интерстициальное вхождение в кристалл при компенсации заряда вакансиями

кальция (7), (8) выгоднее изоморфного замещения. Вместе с тем литий и натрий легче всего растворяются по механизму самокомпенсации заряда (9), (10). На рис. 2 показаны энергии растворения одновалентных примесей для наиболее энергетически выгодных механизмов их растворения.

Изовалентные замещения иона кальция двухвалентной примесью Me $^{2+}$  можно записать в форме следующей квазихимической реакции:



Энергия растворения примесей для реакции (11) может быть рассчитана по уравнению

$$E_S(\text{Me}^{2+}) = E_d(\text{Me}_{\text{Ca}}^{\times}) + E_L(\text{CaO}) - E_L(\text{MeO}). \quad (12)$$

Полученные значения приведены в табл. 2. В интерстициальные позиции двухвалентные ионы не встраиваются. Так, растворение магния и стронция по интерстициальному механизму с компенсацией избыточного заряда вакансиями кальция требует затрат в 7.45 и 10.75 эВ соответственно.

Наибольший практический интерес представляет растворимость трехвалентных, в частности, редкоземельных элементов. Для трехвалентных примесей компенсация избыточного положительного заряда может проходить за счет вакансий кальция:



Энергия их растворения может быть оценена следующим образом:

$$E_S(\text{Me}^{3+}) = E_d(\text{Me}_{\text{Ca}}^{\bullet}) + \frac{1}{2}E_d(v_{\text{Ca}}^{\prime \prime}) + \frac{3}{2}E_L(\text{CaO}) - \frac{1}{2}E_L(\text{Me}_2\text{O}_3). \quad (14)$$

Сравнение зависимостей энергий растворения одновалентных, двухвалентных и трехвалентных примесей от разницы ионных радиусов кальция и замещающих его примесных ионов (рис. 2) сви-

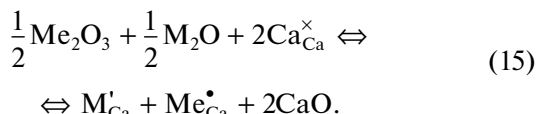
**Таблица 2.** Параметры потенциалов взаимодействия для примесных ионов, структурные энергии оксидов  $E_L(\text{Me}_i\text{O}_y)$  и результаты расчета энергии примесных дефектов ( $E_d$ ) и энергии растворения примесей ( $E_S$ ) в повелителе для изолированных дефектов

Me	$r$ , Å	$A$ , эВ	$\rho$ , Å	$q_c$ , эВ	$q_s$ , эВ	$\chi$ , эВ/Å $^{-2}$	$E_d$ , эВ	$E_L$ , эВ (Me $_i$ O $_y$ )	$E_S$ , эВ				
Одновалентные примеси										Уравнения			
										(5)	(6)	(8)	(10)
Li	0.92	426.480	0.3000	1			14.14 (-6.28)	-30.51	4.28	4.99	2.86	<b>2.18</b>	
Na	1.18	1271.504	0.3000	1			14.85 (-2.54)	-26.29	2.88	3.59	4.49	<b>2.41</b>	
K	1.51	3587.570	0.3000	1			16.42 (1.30)	-23.18	<b>2.89</b>	3.60	6.77	4.71	
Двухвалентные примеси										Уравнение (12)			
Mg	0.89	2457.243	0.2610	1.580	0.420	349.95	-3.18	-40.99			1.62		
Sr	1.26	1956.702	0.3252	0.169	1.831	21.53	1.01	-34.01			-1.17		
Ba	1.42	4818.416	0.3067	0.169	1.831	34.05	2.62	-32.46			-1.51		
Трехвалентные примеси										Уравнения			
										(14)	(16)		
Компенсатор										$\frac{1}{2}v_{\text{Ca}}^{\prime \prime}$	$\text{Li}_{\text{Ca}}^{\bullet}$	$\text{Na}_{\text{Ca}}^{\bullet}$	$\text{K}_{\text{Ca}}^{\bullet}$
Al	0.686	2409.505	0.2649	0.043	2.957	403.98	-30.63	-157.60	5.86	5.18	<b>3.79</b>	3.80	
Ga	0.772	2339.776	0.2742	3.000			-29.07	-153.58	5.41	4.73	<b>3.33</b>	3.34	
Fe	0.780	3219.335	0.2641	1.971	1.029	179.58	-28.96	-152.34	4.91	4.23	<b>2.83</b>	2.84	
Yb	0.985	991.029	0.3515	-0.278	3.278	308.91	-22.89	-137.43	3.52	2.84	<b>1.44</b>	1.45	
Y	1.019	1519.279	0.3291	3.000			-23.31	-136.39	2.58	1.90	<b>0.51</b>	0.52	
Tb	1.040	845.137	0.3750	-0.972	3.972	299.98	-20.64	-130.82	2.46	1.78	<b>0.39</b>	0.40	
Gd	1.053	866.339	0.3770	-0.973	3.973	299.96	-20.13	-129.56	2.34	1.66	<b>0.27</b>	0.28	
Eu	1.066	847.868	0.3791	-0.991	3.991	304.92	-19.99	-129.28	2.34	1.66	<b>0.26</b>	0.27	
Nd	1.109	13084.217	0.2550	1.678	1.322	302.35	-23.76	-133.02	0.451	-0.23	<b>-1.63</b>	-1.62	
Pr	1.126	13431.118	0.2557	1.678	1.322	302.36	-23.47	-132.33	0.390	-0.29	<b>-1.69</b>	-1.68	
La	1.160	5436.827	0.2939	5.149	-2.149	173.90	-21.06	-128.15	0.717	0.04	<b>-1.36</b>	-1.35	

Примечание. Для Al<sup>3+</sup>, Ga<sup>3+</sup> ионные радиусы ( $r$ ) для КЧ 8 получены экстраполяцией зависимости  $r$  от КЧ.

детельствует о том, что изовалентное замещение требует меньших энергетических затрат, чем гетеровалентное.

Компенсация заряда может происходить также при сопряженном изоморфизме трехвалентного и одновалентного ионов<sup>1</sup> в позиции кальция:



<sup>1</sup> Чтобы различить примесные ионы в уравнениях (15), (16), (21) и (22), одновалентные ионы обозначаются буквой M вместо Me.

Энергии растворения для реакции (15) могут быть оценены из уравнения

$$\begin{aligned} E_S(\text{Me}^{3+}, \text{M}^+) = E_d(\text{Me}_{\text{Ca}}^{\bullet}) + E_d(\text{M}_{\text{Ca}}^{\prime}) + \\ + 2E_L(\text{CaO}) - \frac{1}{2}E_L(\text{Me}_2\text{O}_3) - \frac{1}{2}E_L(\text{M}_2\text{O}). \end{aligned} \quad (16)$$

В табл. 2 представлены значения энергии растворения трехвалентных примесей как по механизму компенсации заряда собственными дефектами, вакансиями кальция, так и по механизму сопряженного изоморфизма. Интерстициальное растворение для трехвалентных примесей маловероятно. Так, для алюминия и неодима энергии

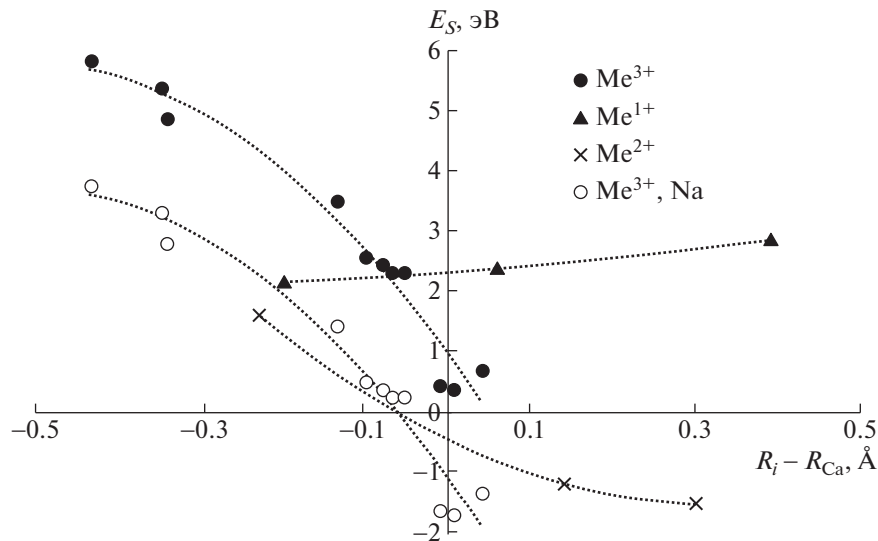


Рис. 2. Энергии растворения примесей в повеллите в виде изолированных дефектов. Для замещения Ca на щелочные металлы приведены энергии растворения с наиболее энергетически выгодным механизмом компенсации заряда.

интерстициального растворения при компенсации избыточного заряда примеси вакансиями кальция составляют 11.15 и 16.15 эВ соответственно.

Из табл. 2 видно, что при сопряженном изоморфизме наиболее выгодными компенсаторами заряда являются ионы натрия. Ионы калия уступают им лишь незначительно. На рис. 2 представлены данные о солегировании трехвалентных примесей натрием. Видно, что сопряженный изоморфизм позволяет значительно увеличить растворимость трехвалентных примесей.

До сих пор речь шла о растворении примесей в виде изолированных, невзаимодействующих ионов. Однако известно, что заряженные примеси могут образовывать парные, тройные и более сложные кластеры как с собственными дефектами кристалла, так и с другими примесями. В результате взаимодействия трехвалентной примеси с вакансией кальция могут образовываться заряженные кластеры:



Энергия их растворения может быть оценена следующим образом:

$$E_S(Me_{Ca}v_{Ca})' = \frac{1}{2}[E_d(Me_{Ca}v_{Ca})' + E_d(Me_{Ca}^{\bullet}) + 3E_L(CaO) - E_L(Me_2O_3)]. \quad (18)$$

Результаты расчета приведены в табл. 3.

Возможно также образование нейтральных кластеров, состоящих из димера примеси и вакансии кальция:



Энергия растворения нейтральных примесно-вакансационных кластеров в расчете на один трехвалентный ион будет рассчитываться по уравнению

$$E_S[\frac{1}{2}(Me_{Ca}v_{Ca}Me_{Ca})''] = \frac{1}{2}[E_d(Me_{Ca}v_{Ca}Me_{Ca})'' + 3E_L(CaO) - E_L(Me_2O_3)]. \quad (20)$$

Рассчитаны две конфигурации таких димерных кластеров: со взаимным расположением ионов примеси и вакансии в позициях кальция (1–2–3) и с локализацией их в (1–2–4) (рис. 1). Из табл. 3 видно, что наиболее мелкие (Al, Ga) и наиболее крупные (Nd, Pr, La) предпочитают конфигурацию (1–2–4). Примеси средних размеров, за исключением гадолиния, вероятнее всего образуют кластеры конфигурации (1–2–3). Для железа образование этих конфигураций равновероятно. Энергии растворения заряженных и нейтральных примесных кластеров с вакансией кальция представлены на рис. 3. В случае нейтральных кластеров для каждой примеси взяты значения для наиболее выгодной конфигурации. Видно, что все примеси предпочитают образование нейтральных кластеров.

Наряду с кластерами, образуемыми примесными ионами с собственными дефектами кристалла, возможно образование примесно-примесных кластеров, объединение трехвалентных примесей, вносящих избыточный положительный заряд с одновалентными примесями с избыточным отрицательным зарядом:



**Таблица 3.** Результаты расчета энергии растворения трехвалентных примесей в виде кластеров

Примесь	Примесно-вакансационные кластеры				Примесно-примесные кластеры	
	Заряженные $(\text{Me}_{\text{Ca}}-\nu_{\text{Ca}}-\text{Me}_{\text{Ca}})^\times$		$(\text{Me}_{\text{Ca}}-\nu_{\text{Ca}}-\text{Me}_{\text{Ca}})^\times$		$(\text{Me}-\text{Na})^\times$	
	$E_d$	$E_S$ Ур. (16)	$E_d$	$E_S$ Ур. (18)	$E_d$	$E_S$ Ур. (18)
Al	-7.55	5.42	-40.23	4.40	-40.94	4.04
Ga	-6.42	4.76	-37.55	3.73	-37.84	3.58
Fe	-6.26	4.27	-37.08	3.34	-37.08	3.34
Yb	-0.03	2.97	-25.71	1.57	-24.21	2.32
Y	-0.33	2.09	-26.54	0.64	-25.04	1.39
Tb	2.22	1.92	-21.30	0.48	-20.12	1.06
Gd	2.74	1.80	-17.39	1.80	-18.8	1.10
Eu	2.87	1.79	-19.78	0.46	-18.53	1.10
Nd	-0.66	0.02	-24.38	0.04	-25.97	-0.76
Pr	-0.38	-0.04	-23.82	-0.03	-25.42	-0.83
La	1.93	0.23	-19.12	0.23	-20.88	-0.66

Энергия растворения таких кластеров может быть оценена следующим образом:

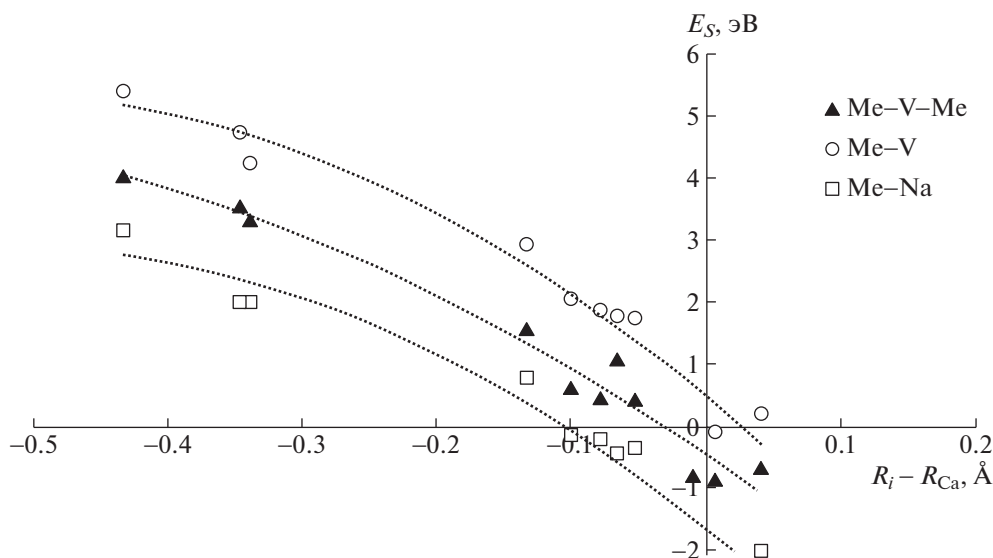
$$E_S(\text{Me}_{\text{Ca}}\text{M}_{\text{Ca}})^\times = E_d(\text{Me}_{\text{Ca}}\text{M}_{\text{Ca}})^\times + \\ + 2E_L(\text{CaO}) - \frac{1}{2}E_L(\text{Me}_2\text{O}_3) - \frac{1}{2}E_L(\text{M}_2\text{O}). \quad (22)$$

Для трехвалентных примесей наиболее выгоден со-пряженный изоморфизм с натрием. В табл. 3 приведены результаты расчета для кластеров  $(\text{Me}_{\text{Ca}}\text{Na}_{\text{Ca}})^\times$ .

Сравнение рис. 2 и 3 свидетельствует о том, что зависимости, характеризующие растворение в виде примесно-вакансационных кластеров (рис. 3),

попадают в интервал значений, находящихся между зависимостью энергии растворения изолированных трехвалентных ионов и зависимостью, характеризующей сопряженный изоморфизм (рис. 2). А изоморфизм кластеров одновалентных и трехвалентных ионов является наиболее выгодным механизмом растворения трехвалентных примесей.

Образование кластеров одновалентных примесей с компенсирующими их заряд вакансиями кислорода также позволяет уменьшить энергию

**Рис. 3.** Энергии растворения трехвалентных примесей в повеллите в виде кластеров.

растворения примесей. В этом случае энергия растворения определяется следующим образом:

$$E_S = \frac{1}{2} [E_d(\text{Me}_{\text{Ca}}\text{V}_0\text{Me}_{\text{Ca}})^\times + E_L(\text{CaO}) - \frac{1}{2} E_L(\text{Me}_2\text{O})]. \quad (23)$$

Для Li, Na и K энергии дефектов  $E_d(\text{Me}_{\text{Ca}}\text{V}_0\text{Me}_{\text{Ca}})^\times$  составляют 48.71, 50.36 и 53.43 эВ соответственно. Энергии растворения, приходящиеся на один ион примеси, составляют 3.42, 2.14 и 2.12 эВ. Данные табл. 2 (уравнение (5)) свидетельствуют о том, что образование кластеров понижает энергию растворения на 20–26% по сравнению со статистическим распределением дефектов. Образование нейтральных кластеров одновалентных примесей с вакансиями кислорода позволяет не только увеличить растворимость примесей, но и снижает вероятность образования центров окраски  $F^+$  и  $F$ , представляющих собой вакансии кислорода, захватившие один или два электрона.

Возможны также образование кластеров между интерстициальными и изоморфно входящими одновалентными примесями и растворение одновалентных примесей по механизму



При этом энергии кластеров ( $E_d$ ) составляют 5.59, 10.08 и 15.56 эВ для Li, Na и K соответственно. Энергии растворения кластеров, оцененные по уравнению

$$E_S = E_d(\text{Me}_1\text{Me}_{\text{Ca}})^\times + E_L(\text{CaO}) - E_L(\text{Me}_2\text{O}), \quad (25)$$

представляют собой величины –0.09, 0.18 и 2.55 эВ. Энергии растворения примесей в расчете на один ион еще в 2 раза меньше. Сравнение с данными, представленными в табл. 2, свидетельствует о том, что образование кластеров между интерстициальными и изоморфно входящими одновалентными примесями значительно понижает энергию их растворения, особенно для лития и натрия.

## ЗАКЛЮЧЕНИЕ

Сравнение разных механизмов растворения одновалентных примесей свидетельствует о том, что для калия наиболее энергетически выгодно замещение иона кальция при компенсации заряда вакансиями кислорода. Для ионов лития и натрия оптимальным способом растворения является сочетание изоморфного замещения кальция с интерстициальным входением в кристалл. Особенно большой энергетический выигрыш дает образование их кластеров. Образование нейтральных кластеров одновалентных примесей с вакансиями кислорода позволяет не только увеличить растворимость примесей, но и снижает вероятность образования центров окраски.

Для двухвалентных примесей достаточно энергетически выгодно изоморфное замещение кальция. Для трехвалентных примесей компенсация избыточного положительного заряда может проходить за счет вакансий кальция. В интерстициальные позиции двухвалентные и трехвалентные ионы не встраиваются.

Сравнение зависимостей энергий растворения одно-, двух- и трехвалентных примесей от разницы ионных радиусов кальция и замещающих его примесных ионов свидетельствует о том, что изовалентное замещение требует меньших энергетических затрат, чем гетеровалентное.

Компенсация заряда может происходить при сопряженном изоморфизме трехвалентного и одновалентного ионов в позиции кальция. При этом наиболее выгодными компенсаторами заряда являются ионы натрия. Ионы калия уступают им незначительно. Сопряженный изоморфизм позволяет значительно увеличить растворимость трехвалентных примесей.

Образование кластеров трехвалентных примесей с вакансиями кальция, компенсирующими их заряд, уменьшает энергию растворения примесей. Трехвалентные примеси в повеллите предпочитают образование незаряженных кластеров. А изоморфизм кластеров одновалентных и трехвалентных ионов является самым выгодным механизмом растворения трехвалентных примесей.

## СПИСОК ЛИТЕРАТУРЫ

1. Hu Y., Zhuang W., Ye H. et al. // J. Alloys Compd. 2005. V. 390. P. 226.
2. Dixit P., Chauhan V., Kumar P., Pandey P.C. // J. Luminescence. 2020. V. 223. P. 117240.
3. Zhuang R.Z., Zhang L.Z., Lin Z.B., Wang G.F. // Mat. Res. Innovations 2008. V. 12. P. 62.
4. Шилова Г.В., Сироткин А.А., Зверев П.Г. // Квантовая электроника. 2019. Т. 49. С. 570.
5. Mikhailik V.B., Henry S., Kraus H., Solskii I. // Nucl. Instrum. Method Phys. Res. A. 2007. V. 583. P. 350.
6. Lee S.J., Choi J.H., Danevich F.A. et al. // Astropart. Phys. 2011. V. 34. P 732.
7. Bosbach D., Rabung T., Brandt F., Fanganel T. // Radiochim. Acta. 2004. V. 92. P. 639.
8. Taurines T., Boizot B. // J. Am. Ceram. Soc. 2012. V. 95. P. 1105.
9. Lin Q., Feng X. // J. Phys.: Condens. Matter. 2003. V. 15. P. 1963.
10. Chen T., Liu T., Zhang Q. et al. // Nucl. Instrum. Method Phys. Res. A. 2007. V. 575. P. 390.
11. Дудникова В.Б., Антонов Д.И., Жариков Е.В., Еремин Н.Н. // ФТТ. 2022. Т. 64. С. 1452.  
<https://doi.org/10.21883/FTT.2022.10.53089.354>
12. Gale J.D. // Z. Kristallographie. 2005. B. 220. S. 552.
13. Mott N.F., Littleton M.J. // Trans. Faraday Soc. 1938. V. 34. P. 485.
14. Александров В.Б., Горбатый Л.В., Илюхин В.В. // Кристаллография. 1968. Т. 13. С. 512.
15. Bush T.S., Gale J.D., Catlow C.R.A., Battle P.J. // Mater. Chem. 1994. V. 4. P. 831.
16. Shannon R.D. // Acta Cryst. A. 1976. V. 32. P. 751.